

فصل پنجم

شناسایی پدیده فرورزونانس و
بررسی حادثه پست ۴۰۰/۲۳۰
کیلوولت فیروزبهرام

۱- مقدمه:

فرورزنانس یکی از پدیده‌های نادر و مخرب در شبکه‌های قدرت می‌باشد. که به دلیل وقوع تصادفی و کم تعداد بودن آن در سیستمهای قدرت اطلاعات دقیق، کامل و تدوین شده بسیار کمی در دسترس مهندسین و متخصصین برق قرار دارد. وقوع تعدادی از حوادث که سالانه در شبکه‌های قدرت اتفاق می‌افتد و اغلب آنها قابل تفسیر نمی‌باشند می‌تواند به دلیل وقوع این پدیده مخرب و پیچیده باشد.

شناخت پدیده فرورزنانس می‌تواند در تفسیر برخی حوادث مبهم ناشی از وقوع این پدیده در شبکه‌های قدرت و نیز جلوگیری از تکرار آن کمک نماید. در فصل حاضر ابتدا بطور مختصر به شرایط وقوع پدیده فرورزنانس در سیستمهای قدرت پرداخته و پس از آن با استفاده از نرم افزار EMTP حادثه مورخ ۱۳۸۱/۲/۲۸ پست ۴۰۰/۲۳۰ کیلوولت پست فیروزبهرام مورد بررسی قرار می‌گیرد.

۲- شناسایی پدیده فرورزنانس:

فرورزنانس یک پدیده روزانه غیر خطی است که می‌تواند روی شبکه‌های قدرت تاثیر گذارد. مقایدیر غیر عددی هارمونیک‌ها و یا اضافه ولتاژ یا اضافه جریانهای گذرا یا پایدار که توسط آن ایجاد می‌گردد معمولاً برای تجهیزات برقی خطرناک است. بعضی از شکست‌های الکتریکی توجیه نشده را می‌توان به این پدیده غیر خطی نادر نسبت داد.

واژه فرورزنانس که تقریبا از اوخر ده قرن بیستم وارد مقالات و کتابها گردید، به کلیه پدیده‌های نوسانی رخ داده در مدارهای الکتریکی اطلاق می‌گردد که این مدارها حداقل شامل آیتم‌های زیر باشند:

الف) سلف غیر خطی (فرومغناطیس قابل اشباع).

ب) خازن.

ج) منبع ولتاژ (عموما سینوسی).

د) تلفات بسیار کم.

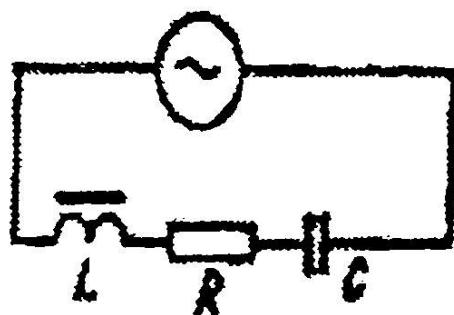
شبکه‌های قدرت شامل تعداد بسیار زیادی از این سلف‌های قابل اشباع مانند ترانسفورماتورهای قدرت، ترانسفورماتورهای ولتاژ، راکتورهای شنت می‌باشد همچنین به عنوان خازن می‌توان از کابلها، خطوط هوایی بلند، ترانسفورماتورهای ولتاژ خازنی، بانکهای خازنی موازی با پل بریکرها نام برد. اینها تجهیزاتی هستند که می‌توانند شرایط وقوع فرورزنانس را ایجاد نمایند. بزرگترین مشخصه این پدیده این است که احتمال وجود بیش از یک پاسخ حالت پایدار برای یک نوع آرایش از پارامترهای شبک وجود دارد. حالت‌های گذرا، اضافه ولتاژهای رعد برق، برقدار یا بسیار برق کردن ترانسفورماتورها و وقوع خطاهای می‌تواند موجب شروع فرورزنانس گردد که در این صورت پاسخ شبکه در یک حالت پایدار سیوی - فرکانس منبع به پاسخ حالت پایدار فرورزنانسی دیگر با اضافه ولتاژهای بالا و سطوح مختلف هارمونیکی که می‌تواند برای تجهیزات بسیار مضر باشد جهش نماید.

اطلاعات مختصری درباره این پدیده پیچیده بدست آمده است زیرا که این پدیده بسیار نادر بوده و با روش‌های محاسباتی معمول که مهندسین برق استفاده می‌کنند قابل تجزیه و تحلیل و حدس زدن نمی‌باشد. و این ضعف اطلاعات باعث می‌شود که علت تعدادی از حوادث و انهدام و تخریب تجهیزات که توجیه نشده‌اند، پدیده فرورزنانس به نظر آید.

۳-۵- فرورزنانس

۱-۳-۵- فرورزنانس سری یا ولتاژی:

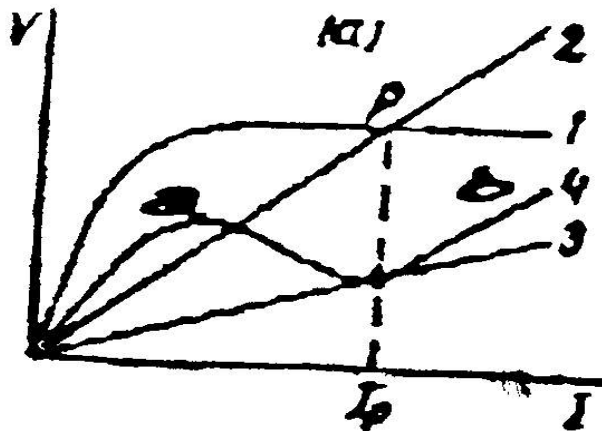
مدار RLC زیر را در نظر بگیرید که در آن کاپاسیتانس و مقاومت خطی بوده و اندوکتانس غیر خطی (سلف با هسته آهن قابل اشباع) می‌باشد.



شکل(۱-۵) مدار RLC سری

مشخصه ولت آمپر سلف مذکور با توجه به اینکه می‌دانیم مقدار ولتاژ سلف تابعی از جریان آن می‌باشد یعنی $V_L = F(I)$ بصورت منحنی یک در شکل (۲-۵) خواهد بود. مشخصه ولت - آمپر

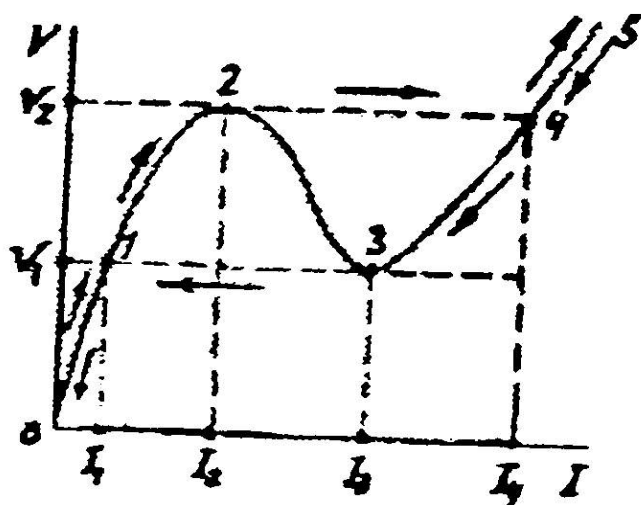
خازن با توجه به رابطه $Vc = I/C\omega$ بصورت یک خط راست یعنی منحنی ۲ و همچنین مشخصه ولت - آمپر مقاومت با توجه به رابطه $RI = V$ نیز بصورت خط راست یعنی منحنی ۳ خواهد بود.



شکل (۳-۵): مشخصه ولت-آمپر المانهای مدار فرورزونانس سری

حال اگر مقادیر مختلف ولتاژ را به مدار فوق اعمال کنیم با در نظر داشتن اینکه مقدار ولتاژ روی سلف و خازن همواره ۱۸۰ درجه با هم اختلاف فاز دارند منحنی شماره ۴ بدست می‌آید. لازم به ذکر است هر چه قدر مقدار مقاومت کوچکتر باشد در ازای جریان I_p که V_L و V_c از نظر قدر مطلق برابر هستند مقدار ولتاژ بین دو نقطه a و b کوچکتر بوه و به صفر نزدیکتر می‌شود در حوالی این نقطه که جریان هارمونیک اول با ولتاژ همفاز است، پدیده فرورزونانس روی می‌دهد. پدیده فرورزونانس سری یا فرورزونانس ولتاژی را می‌توان با تغییر دادن مقدار ولتاژ منبع یا فرکانس آن و یا تغییر در ظرفیت خازن یا مشخصات سلف با هسته آهنی مدار، ایجاد نمود.

همانطور که گفته شد منحنی ۴ مشخصه ولت - آمپر مدار، فوق می‌باشد بار دیگر آنرا بصورت مجزا در شکل (۳-۵) نمایش داده و با افزایش تدریجی ولتاژ منبع، تغییرات جریان مدار را با توجه به منحنی مذکور بررسی می‌کنیم.



شکل (۳-۵): مشخصه ولت-آمپر مدار RLC سری

با افزایش ولتاژ منبع در صفر تا V_1 و از V_1 تا V_2 مقادیر I_1 و I_2 از روی منحنی بدست می‌آید حال اگر مقدار ولتاژ منبع را باز اضافه کنیم جریان از نقطه ۲ به نقطه ۴ جهش کرده دوباره مقدار افزایش آن از نقطه ۴ به نقطه ۵ از روی منحنی ادامه می‌یابد.

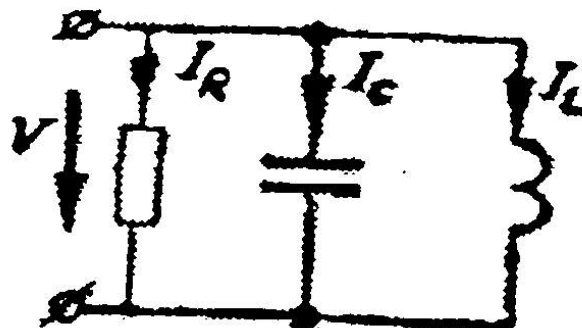
حال اگر ولتاژ را کاهش دهیم جریان از نقطه ۵ به ۴ و از آنجا به نقطه ۳ حرکت کرده و با کاهش بیشتر جریان از نقطه ۳ جهش کرده و روی نقطه ۱ قرار گرفته به طرف صفر حرکت می‌کند. همانطور که دیده می‌شود با افزایش تدریجی ولتاژ منبع به V_2 جریان از I_2 به I_4 جهش کرده و

همزمان با آن اختلاف فاز بین جریان و ولتاژ تغییر می‌کند بطوری که در نقطه ۲ جریان نسبت به ولتاژ عقب‌تر است یعنی $V_L > V_c$ ولی در نقطه ۴ جریان از ولتاژ جلوتر است یعنی $V_c > V_L$ می‌باشد. هنگام کاهش ولتاژ تا V_1 نیز این جهش از I_1 به I_3 روی داده و تغییر فاز را خواهیم داشت.

این تغییرات ناگهانی جریان نسبت به تغییرات جزئی ولتاژ ورودی را عمل سوئیچینگ^۱ در مدار فرورزونانس سری می‌گویند.

۵-۳-۲- فرورزونانس موازی یا فرورزنانس جریانی:

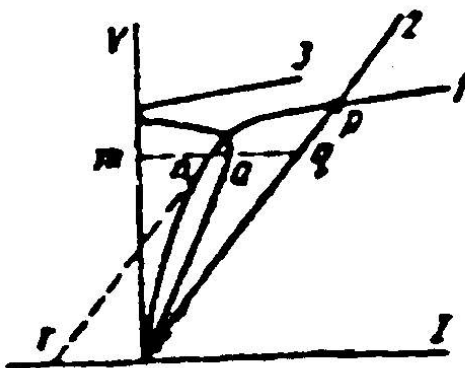
مدار RLC موازی زیر را در نظر می‌گیریم:



شکل (۵-۴): مدار RLC موازی

مطابق آنچه در بخش قبلی گفته شد مشخصه ولت - آمپر سلف و خازن به ترتیب با منحنی ۱ و خط ۲ نشان داده شده است. شکل (۵-۵).

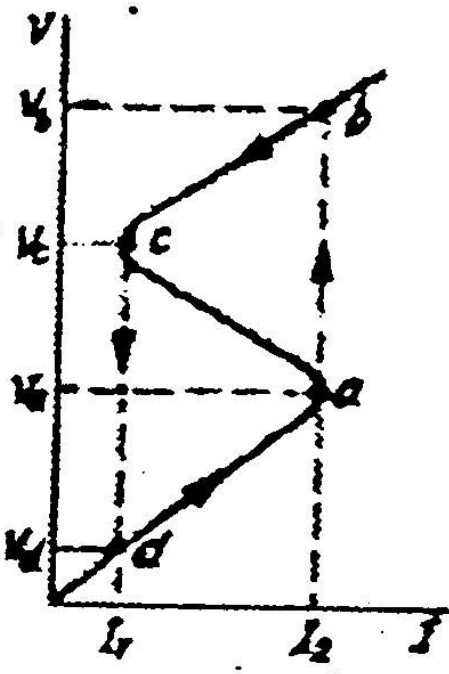
1-Switching action



شکل (۵-۵): مشخصه ولت - آمپر المانهای مدار فرورزنانس موازی

منحنی شماره ۳ مقدار I یعنی حال جمع جبری I_1 و I_2 می‌باشد. پایین‌تر از نقطه P جریان I_L بزرگ‌تر I_L و بالاتر از نقطه P جریان I_L بزرگ‌تر از I_L می‌باشد. در نقطه P که هارمونیک اول جریان را کتیو I_L برابر I_L است فرورزنانس موازی یا (جریانی) روی می‌دهد. در این حالت یعنی نقطه C در شکل (۶-۵) مجموع جریان صفر نمی‌باشد بلکه برابر هارمونیک اول مؤلفه اهمی جریان I_L می‌باشد.

اگر مدار RLC فوق را به یک منبع جریان وصل کرده و مقدار جریان را به تدریج از صفر افزایش دهیم در I_2 مقدار ولتاژ ورودی مدار از V_b به V_a جهش می‌کند. همچنین اگر مقدار جریان را به تدریج کاهش دهیم در I_1 ولتاژ از مقدار V_c به V_d افت می‌کند. این تغییرات ناگهانی ولتاژ را عمل سوئیچینگ در مدار فرورزنانس موازی گویند.



شکل (۶-۵): مشخصه ولت - آمپر مدار فرورزونانس موازی

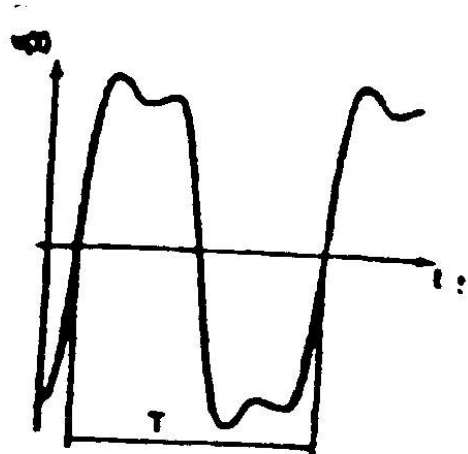
۵-۴- طبقه‌بندی مدل‌های فرورزونانس:

با تجربه‌ای که از ظاهر شدن شکل موجهای مختلف در سیستم قدرت و همچنین از آزمایش‌های مختلف روی مدل‌های ساده شده سیستم بدست آمده و شبیه سازی عددی، قادریم حالت‌های فرورزونانس را به چهار حالت مختلف تقسیم کنیم این چهار حالت مربوط به حالت پایدار است یعنی وقتی که یک حالت گذرا تمام شده است زیرا برای مدار فرورزونانسی تفاوتی بین حالت‌های گذرای عادی و حالت گذرای فرورزونانس وجود ندارد به هر حال باید پذیرفت که حالت فرورزونانس گذرا برای سیستم خطری ایجاد نمی‌کند.

این چهار حالت عبارتنداز:

۵-۴-۱- مدل پایه^۱

در این حالت ولتاژ و جریان پریودیک می‌باشد و پریود آنها یعنی T با پریود سیستم برابر است.

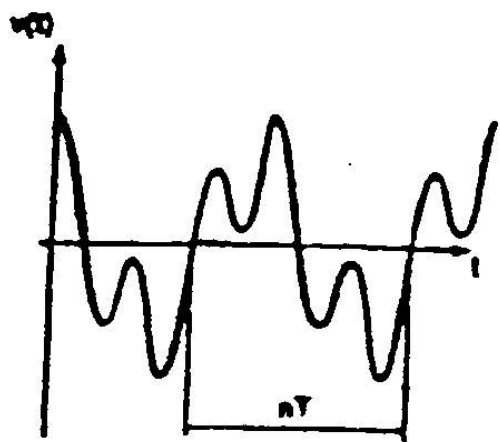


شکل (۷-۵): تغییرات ولتاژ نسبت به زمان در مدل پایه

۵-۴-۲- مدل زیر هارمونیک:^۲

در این حالت جریان و ولتاژ با پریودی نوسان می‌کنند که ضریبی از پریود منع است. این حالت به زیر هارمونیک n ام یا هارمونیک $\frac{1}{n}$ ام معروف است. حالت فرورزونانس زیر هارمونیک از مرتبه فرد است.

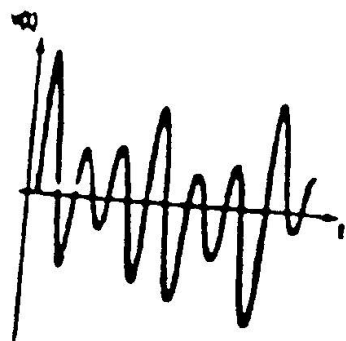
1- Fundamental Mode
2-Subharmonic Mode



شکل (۱-۵): تغییرات ولتاژ نسبت به زمان در مدل زیر هارمونیک

۱-۴-۳- مدل شبیه پریودیک:

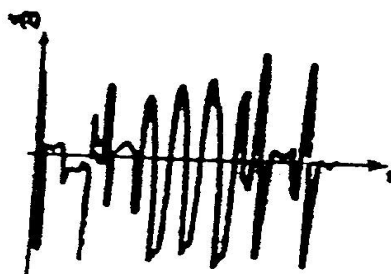
این حالت پریودیک محض نبوده ولی آشفتگی‌ها و نوسانات خود دارای پریود خاصی می‌باشند شکل (۹-۵) این حالت را نشان می‌دهد.



شکل (۹-۵): تغییرات ولتاژ نسبت به زمان در مدل شبیه پریودیک

۵-۴-۲- مدل آشوب گونه:^۱

در این نوع فرورزنانس نوسانات کاملاً اتفاقی و غیر پریودیک می‌باشند. شکل (۱۰-۵) این حالت را نشان می‌دهد.



شکل (۱۰-۵): تغییرات ولتاژ نسبت به زمان در مدل آشوب گونه

۵-۵- شناسایی فرورزنانس:

بروز فرورزنانس معمولاً با اثرات و علائمی به شرح زیر همراه است:

- اضافه ولتاژهای با دامنه زیاد و دائمی بصورت فاز به فاز یا فاز به زمین.
- اضافه جریانهای با دامنه زیاد و دائمی.
- اعوجاجهای با دامنه زیاد و دائمی در شکل موج ولتاژ و جریان.
- جابجایی ولتاژ نقطه صفر.

- افزایش دمای ترانسفورماتور (در حالت بی باری).
- افزایش پیوسته بلندی نویز ترانسفورماتورها و راکتورها.
- وارد شدن صدمات به تجهیزات الکتریکی از قبیل بانکهای خازنی و ترانس‌های ولتاژ خازنی (CVT) به دلیل افزایش اثر حرارتی و یا شکست عایقی.
- تریپ بی موقع تجهیزات حفاظتی.

البته بعضی از این علائم مختص پدیده فرورزنانس نیست بطور مثال جابجایی نقطه صفر در شبکه‌هایی که نقطه صفر آنها زمین نشده است می‌تواند به دلیل وقوع اتصال فاز به زمین روی دهد.

تشخیص اولیه فرورزنانس توسط مقایسه هر نوع منحنی ثبت شده از حادثه با شکل موجهای نوعی^۱ فرورزنانس که در بالا معرفی شده‌اند، بسیار ساده گردیده است اما وقتی با مشکل مواجه می‌گردیم که هیچ گونه ثباتی وجود نداشته باشد یا اینکه تفسیرهای مختلفی از اثرات و علائم موجود وجود داشته باشد.

در این صورت ابتدا باید اقدام به تجزیه و تحلیل ترکیب شبکه با در نظر گرفتن اثرات موجود و همچنین بررسی حوادث قبل از آن، از قبیل برقرار کردن ترانسفورماتور یا برگشت بار که می‌تواند موجب بروز پدیده فرورزنانس گردد، نمود. قدم بعدی این است که تعیین کنم آیا سه شرط لازم (نه کافی) برای بروز پدیده فرورزنانس وجود داشته است یا خیر.

این سه شرط عبارتند از:

۵-۱-۵-۱- حضور همزمان خازن با راکتور غیر خطی در سیستم.

۵-۵-۲- وجود حداقل یک نقطه از سیستم که دارای ولتاژ ثابت نباشد.

۵-۵-۳- وجود اجزاء سیستم با بار کم مانند ترانسفورماتور یا ترانسفورماتور ولتاژ بدون بار.

در صورتی که هر کدام از این سه شرط برقرار نباشد احتمال بروز پدیده فرورزنانس بسیار ضعیف است در غیر این صورت باید تحقیقات گسترده‌ای بعمل آورد.

همچنین می‌توان بوسیله مقایسه وضعیت موجود با مثالهای نوعی از حالت‌های سیستم که شرایط آنها جهت وقوع فرورزنانس مطلوب می‌باشد، ترکیبهایی از شبکه را که در آنها احتمال وقوع پدیده فرورزنانس وجود دارد شناسایی کرد.

۶-۵- جمع‌آوری اطلاعات شبکه و پست جهت شبیه سازی و بررسی حادثه پست فیروز بهرام:

در این قسمت اطلاعات خطوط ورودی پست فیروز بهرام، مشخصات ترانس T4 ترانس زمین و مشخصات برقگیرهای این پست آورده شده است.

در جدول ۱-۵ مشخصات کامل خطوط ورودی پست فیروز بهرام که شامل طول خط، تعداد مدار، تعداد هادیهای و سایر مشخصات خط است ذکر شده است.

جدول (۱-۵): مشخصات خطوط ورودی پست فیروز بهرام

نام سیم محافظ	نام هادی	تعداد برجها	تعداد	طول(کیلومتر)	کد خط	نام خط	ن.

		مدار	مسیر	مدار	مسیر	مدار	مسیر				
7N08	CURLEW	۱۵	۱۱۸	۳	۱	۴۶	۴۶	BH۹۲۰	رودشور - فیروز بهرام ۱	۱	
7N08	CURLEW	۱۵	۱۱۶	۳	۱	۴۶	۴۶	BH۹۲۱	رودشور - فیروز بهرام ۲	۲	

در جدول (۲-۵) مقادیر امپدانسهای توالی صفر و مثبت خط رودشور - فیروز بهرام آمده است.

جدول (۲-۵): مقادیر امپدانسهای خط رودشور - فیروز بهرام

امپدانس توالی صفر (Ω)	امپدانس توالی مثبت (Ω)
$Z_0 = ۷/۶۸ + ۴۲/۲۰۸$	$Z+ = .۹۴۴ + ۱۳/۶۴۸$

در جدول (۳-۵) مشخصات ترانسفورماتور T_4 پست مذکور که شامل سطح ولتاژ ترانسفورماتور،

ظرفیت، نوع اتصال سیم پیچها، نوع سیستم خنک کنندگی ترانسفورماتور و درصد امپدانس ولتاژ برای

سیم پیچهای مختلف می باشد، ذکر شده است.

جدول (۳-۵) : مشخصات ترانسفورماتور T_4 پست فیروز بهرام

درصد امپدانس ولتاژ (در تپ نامی)			نوع سیستم خنک کنندگی	نوع اتصال سیم پیچها			ظرفیت (MVA)	سطح ولتاژ (KV)
LV-TV	HV-TV	HV-LV	ONAN/ONAF1/ONAF2	LV-TV	HV-TV	HV-LV	۱۶۶,۶۶۷	۴۰۰/۲۳۰/۱۳,۸
۶۶,۲۴	۸۴,۲۱	۱۲,۰۴		YndII	YndII	Yan0		

در جدول ۴-۵ مشخصات ترانسفورماتور زمین پست فیروز بهرام و در جدول ۵-۵ مشخصات

دکلهای مورد استفاده در خط رودشور - فیروز بهرام ذکر شده است.

جدول (۴-۵): مشخصات ترانسفورماتور زمین پست فیروز بهرام

ظرفیت ترانس کمکی (KVA)	امپدانس توالی صفر (Ω)	امپدانس ولتاژ (%)	نوع اتصال	سطح ولتاژ (V)	ظرفیت (KVA)
۳۳	۹/۷۷	۴	ZNYN11	۱۳۸۰۰/۱۳۸۰/۲۲۰	۵۰۰

جدول (۵-۵): مشخصات دکلهای مورد استفاده در خط رودشور - فیروز بهرام

D _{horizontal} (m)	H _{mid} (m)	H _{tower} (m)
۱۰/۴۵	۴۰	۴۴/۵

مشخصات فنی برقگیرهای سمت اولیه (۴۰۰kv) ترانسفورماتور:

برقگیر اکسید روی با محفظه پرسلین نوع Q EXLIM ۱۰KA (ABB) ساخت شرکت ABB

ماکریم ولتاژ سیستم (Un) ۴۲۰KV

ولتاژ نامی (Ur) ۳۶۰KV

ماکریم ولتاژ کار دائم:

بر حسب استاندارد IEC (Uc) ۲۶۷KVrms

بر حسب استاندارد ANSI/IEEE (MCOV) ۲۹۱KVrms

ظرفیت TOV:

۱ ثانیه ۴۱۷KVrms

۱۰ ثانیه ۳۹۶KVrms

۱۰KA	جريان تخلیه نامی (IEC)
	جريان تخلیه با طول مدت آن:
۱۰۰KA	جريان بالا ($4/10 \mu s$)
۷۰۰A	جريان پایین $2400 \mu s$
۹۰۰A	جريان پایین $2000 \mu s$
$\nabla, 5Kj/kv(Ur)$	ظرفیت انرژی
Class3	کلاس تخلیه خط (IEC)
۵۰KA	جريان اتصال کوتاه
۶۳KA	ظرفیت شیر اطمینان
	استقامت عایقی خارجی:
۱۸۰۰KV	خشک ($1,2/50 \mu s$)
۸۱۸KV	۵۰ هرتز مرطوب ($60s$)
۸۰۲KV	۶۰ هرتز مرطوب ($10s$)
۱۳۷۴KV	$250/2500 \mu s$ مرطوب
۱۰۷۰۰Mm	فاصله خزشی
۳۷۷۵Mm	ارتفاع
۱۸۰۰۰Nm	مقاومت مکانیکی (DIN48113)

۱۳۷۴Kg

جرم

تعداد ستون

شرایط سرویس:

+۴۵°C-۵۰°C

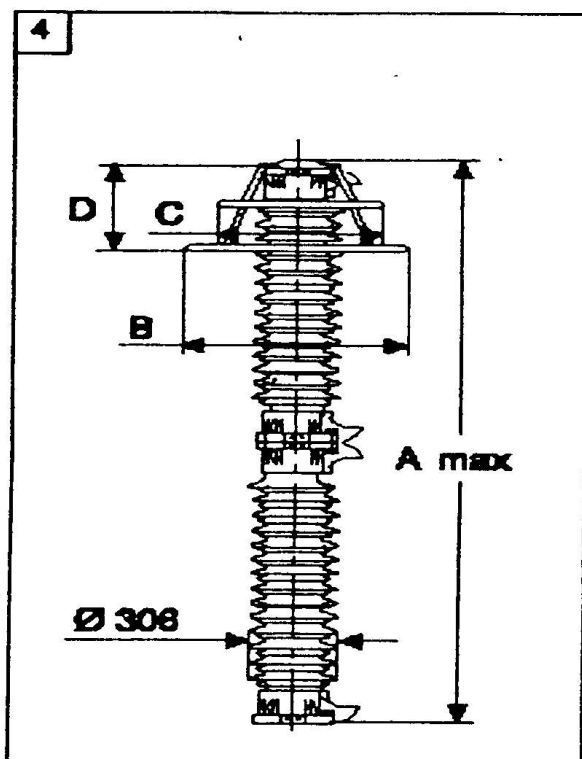
درجه حرارت محیط

100m

ماکریم ارتفاع طراحی

۱۵-۶۲HZ

فرکانس



$A_{max}=3775 \text{ mm}$

$B=1600 \text{ mm}$

$C=1000 \text{ mm}$

$D= 650 \text{ mm}$

مشخصات فنی برقگیرهای سمت اولیه (230kv) ترانسفورماتور:

برقگیر اکسید روی با محفظه پرسلین نوع Q (10KA) ساخت شرکت ABB

ماکریم ولتاژ سیستم (Un) 245KV

ولتاژ نامی (Ur) 192KV

ماکریم ولتاژ کار دائم:

بر حسب استاندارد (IEC) IEC 154KVrms

بر حسب استاندارد (MCOV) ANSI/IEEE 154KVrms

:TOV ظرفیت

اُثانیه ۲۲۲KVrms

اُثانیه ۲۱۱KVrms

جریان تخلیه نامی (IEC) 10KA

جریان تخلیه با طول مدت آن:

جریان بالا ($4/10 \mu s$) 100KA

جریان پایین $2400 \mu s$ 700A

جریان پایین $2000 \mu s$ 900A

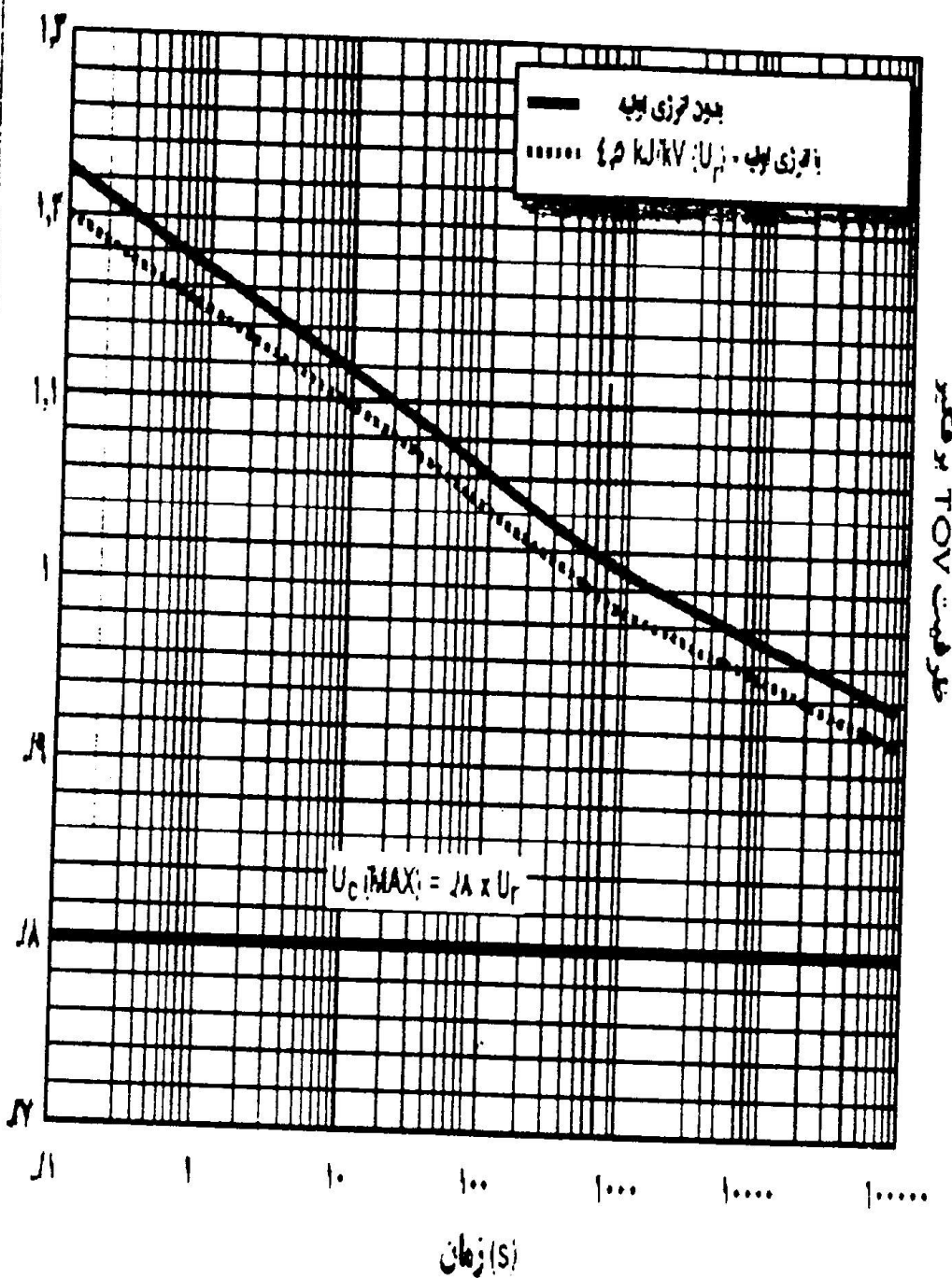
ظرفیت انرژی $7,5Kj/kv(Ur)$

کلاس تخلیه خط (IEC) Class3

جربیان اتصال کوتاه	۵۰KA
ظرفیت شیر اطمینان	۶۳KA
استقامت عایقی خارجی:	
۱۱۷۲KV	۱,۲/۵۰(μs) خشک
۵۵۶KV	۵۰ هرتز مرطوب (۶۰s)
۵۴۶KV	۶۰ هرتز مرطوب (۱۰s)
۹۲۴KV	۲۵۰/۲۵۰۰(μs) مرطوب
۶۵۷۰Mm	فاصله خزشی
۲۵۸۵Mm	ارتفاع
۱۸۰۰۰Nm	مقاومت مکانیکی (DIN48113)
۲۳۵Kg	جرم

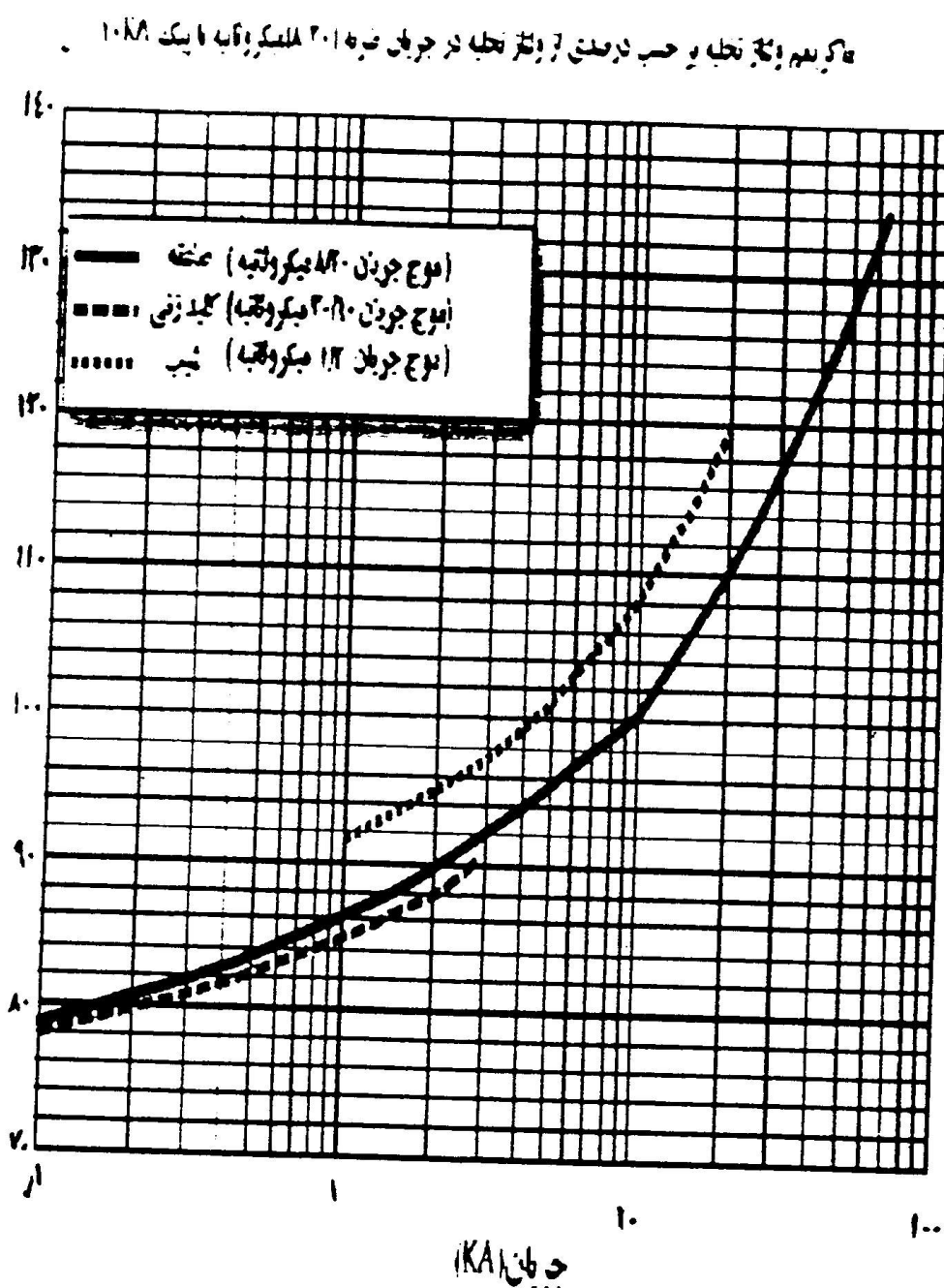
همچنین مشخصه‌های زمان TOV و مشخصه‌های حفاظتی برقگیر در اشکال ۱۱-۵ و ۱۲-۵ آورده شده‌اند.

ضرب استقامت $(T_r)TOV$



شکل (۱۱-۵): مشخصه (زمان - TOV) بر قبیر آسیب دیده پست فیروز بهرام

مشخصه های حفاظتی



شکل (۱۳-۵): مشخصه های حفاظتی ($V-I$) برگیر آسیب دیده پست فیروز بهرام

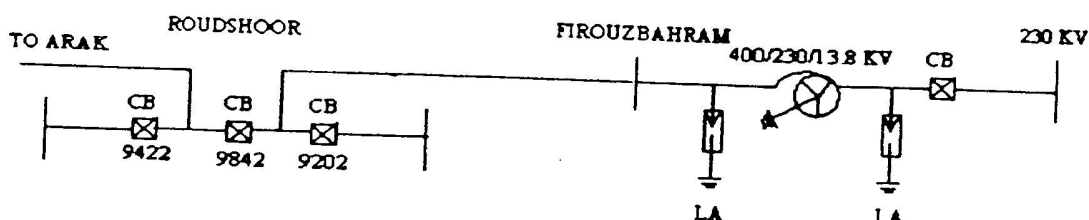
۷-۵- بررسی حادثه مورخ ۸۱/۲/۲۸ پست فیروز بهرام:

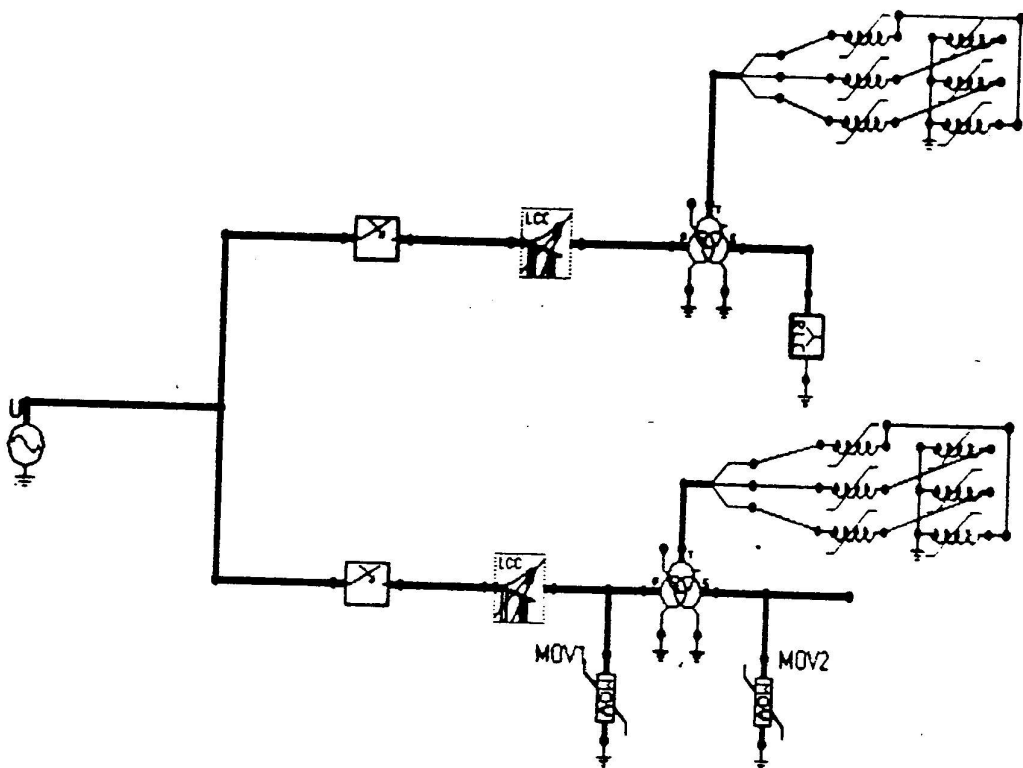
طبق برنامه قبلی برای انجام تعمیرات، خط ۴۰۰ کیلوولت رودشور - فیروز بهرام به شماره BH920 و ترانسفورماتور ۴۰۰/۲۳۰ کیلوولت T₄ در پست فیروز بهرام که از خط فوق تغذیه می‌شود از مدار خارج و پس از انجام سرویسهای لازم آماده برقرار شدن می‌گردد. با هماهنگی مرکز کنترل ابتدا به برقیکر ۹۲۰۲ در پست رودشور فرمان وصل داده شده که بلا فاصله با عملکرد حفاظت نامتعادلی پلها قطع می‌گردد. مجدداً فرمان وصل به برقیکر میانی ۹۸۴۲ در پست رودشور داده می‌شود که همزمان با آن برقگیر فاز C سمت ۲۳۰ کیلوولت ترانس T₄ در پست فیروز بهرام منفجر و موجب عملکرد حفاظتهای باسیار و ترانس T₄ می‌گردد.

۱-۷-۵- مدلسازی و مطالعه حادثه با استفاده از نرم افزار ATP

چنانچه شماتیک مدار و خطوط ارتباطی پست را رسم کنیم خواهیم داشت:

شکل (۱۴-۵): شماتیک پست فیروز بهرام و خطوط ارتباطی KV ۴۰۰ تغذیه کننده



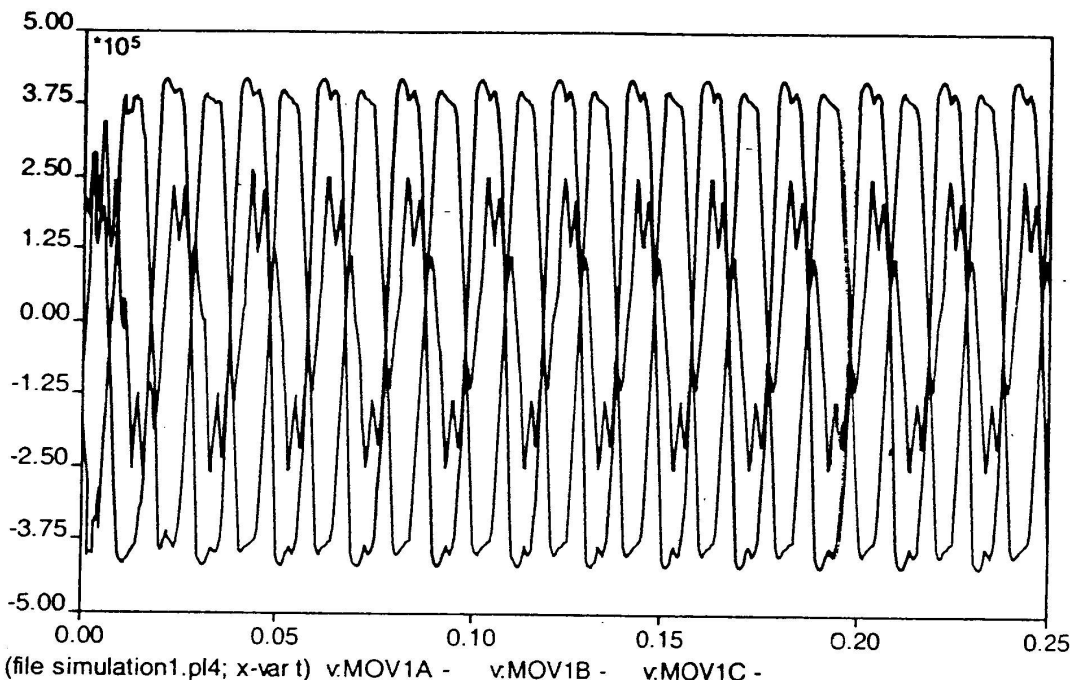


شکل (۱۴-۵): مدار معادل شبکه مورد نظر جهت شبیه سازی در محیط *ATPDraw*

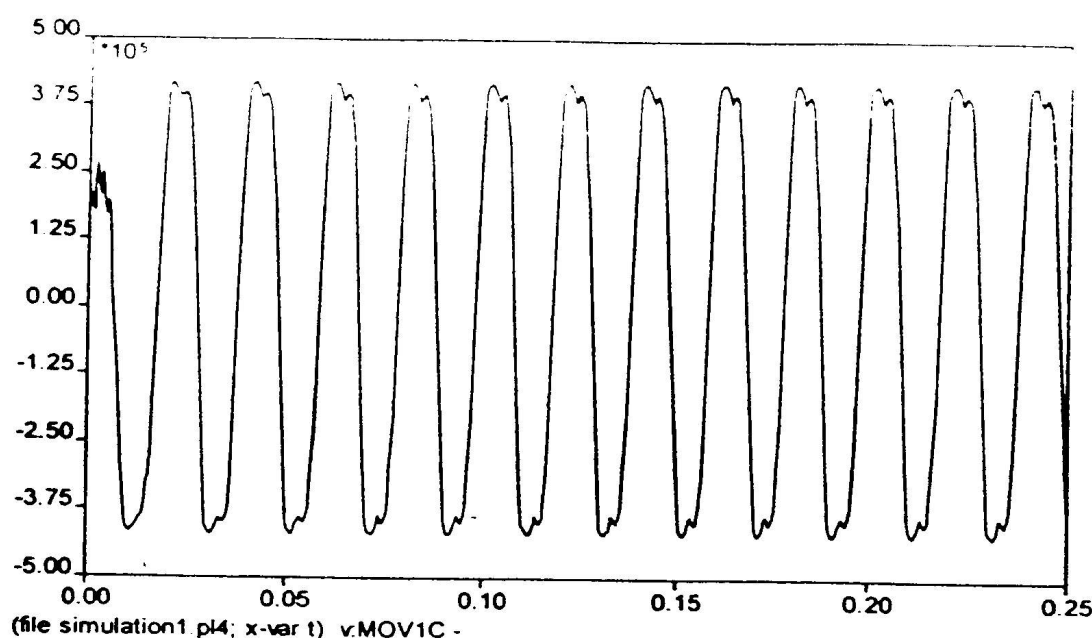
در این شبیه سازی از مدل گسترده خط غیر ترانسپوز و ترانسفورماتور سه فاز سه سیم پیچ قابل اشباع که با توجه به پارامترهای دقیق مدل گردیده‌اند، استفاده شده است. برای مدل دقیق برقگیر از برقگیرهای ABB ۱۰KA نوع SATURA استفاده شده است. حال با توجه به مدلینگ انجام شده به بررسی حادثه مورخ ۲۸/۲/۸۱ می‌پردازیم و در ابتدا فرض می‌کنیم که کلید ۲۳۰KV رودشور فیروز بهرام در پست رودشور هر دو باز و ترانس بی برق باشد. حال در این حالت فرمان وصل به

سه پل کلید ۹۲۰ در پست رودشور داده می شود که دو پل فاز R و S پسته، ولی پل فاز T موفق به وصل نمی شود. شکل (۱۵-۵) ولتاژ سه فاز سمت اولیه سیم پیچهای ترانس را در این حالت نشان می دهد. در این حالت خازن بین دو فاز برقدار و فاز بی برق و سلف ترانس تشکیل یک مدار فرورزونانس را می دهند. چنانچه مشاهده می گردد به دلیل وقوع پدیده فرورزونانس و به اشیاع رفتن هسته فاز T ترانس، ولتاژ فاز به زمین افزایش یافته و ولتاژ این فاز تا حدود ۳۹۰ کیلوولت افزایش یافته است.

شکل (۱۶-۵): ولتاژ فاز به زمین برگیرهای سمت اولیه (۴۰۰KV) ترانسفورماتور

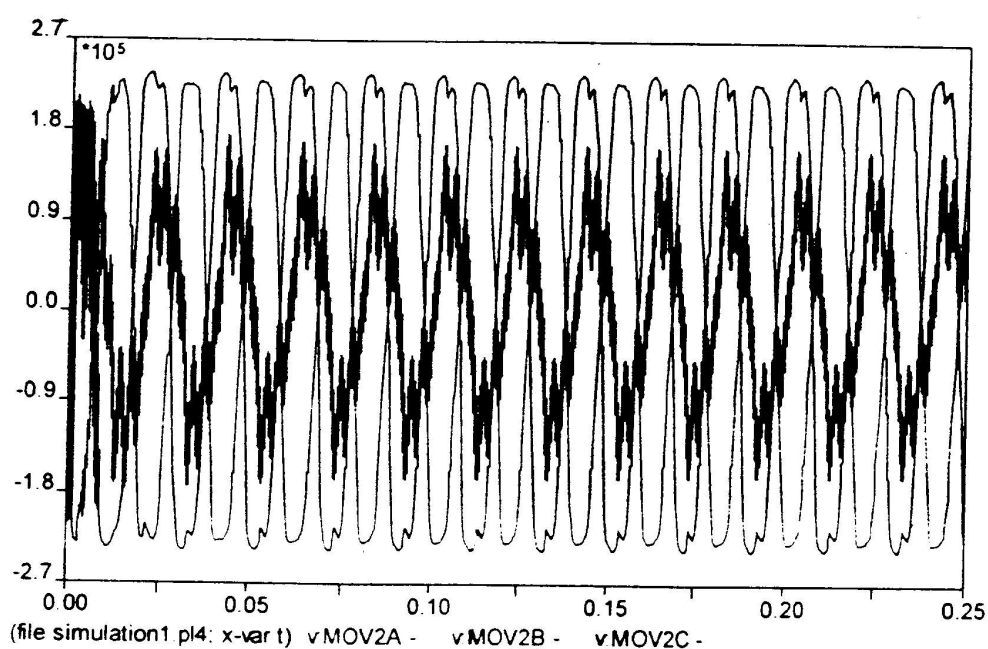


شکل (۱۶-۵) شکل موج ولتاژ برگیر فاز T را نشان می دهد این شکل موج ولتاژ دقیقاً حالت فرورزونانس زیر هارمونیک را نشان می دهد.



شکل (۱۷-۵): شکل موج ولتاژ برقگیر فاز T سمت اولیه ترانسفورماتور

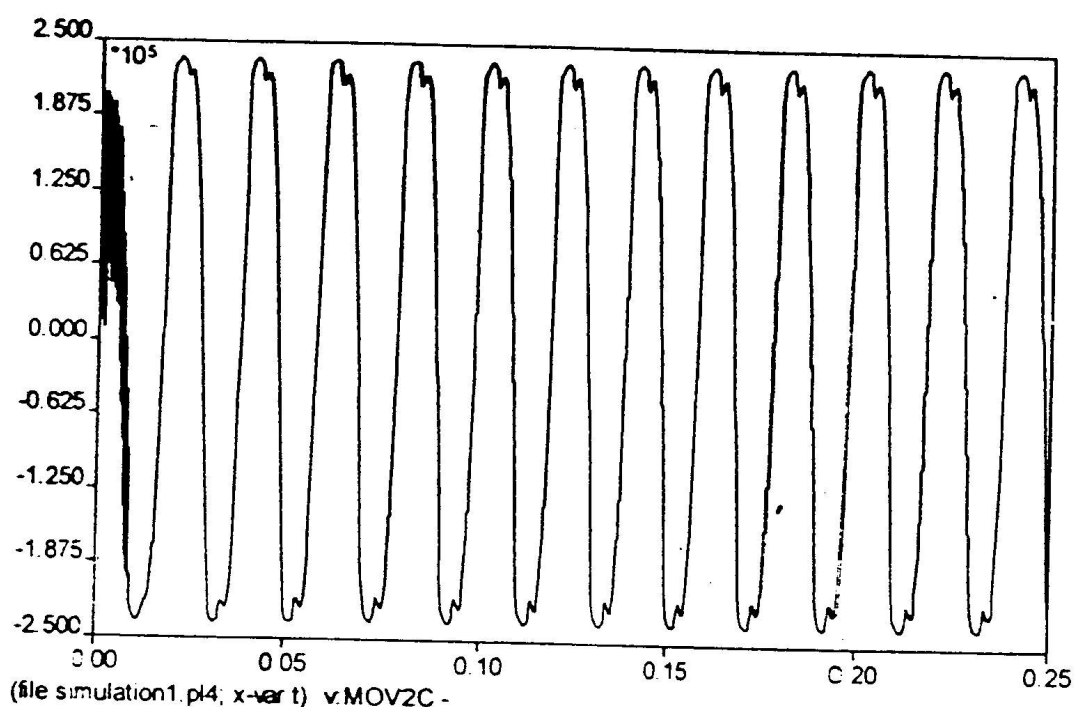
شکل (۱۷-۵) ولتاژ فاز به زمین سه فاز برقگیرهای سمت ثانویه (۲۳۰KV) ترانس را نشان می‌دهد.



شکل (۱۷-۵): ولتاژ فاز به زمین برقگیرهای سمت ثانویه (۲۳۰KV) ترانسفورماتور

همانطور که مشاهده می‌گردد ولتاژ فاز T در حدود ۲۳۷KV می‌باشد که بالاتر از مقدار نامی برق‌گیر می‌باشد.

شکار (۱۸-۵) نیز ولتاژ فاز T ثانویه ترانس را نشان می‌دهد.

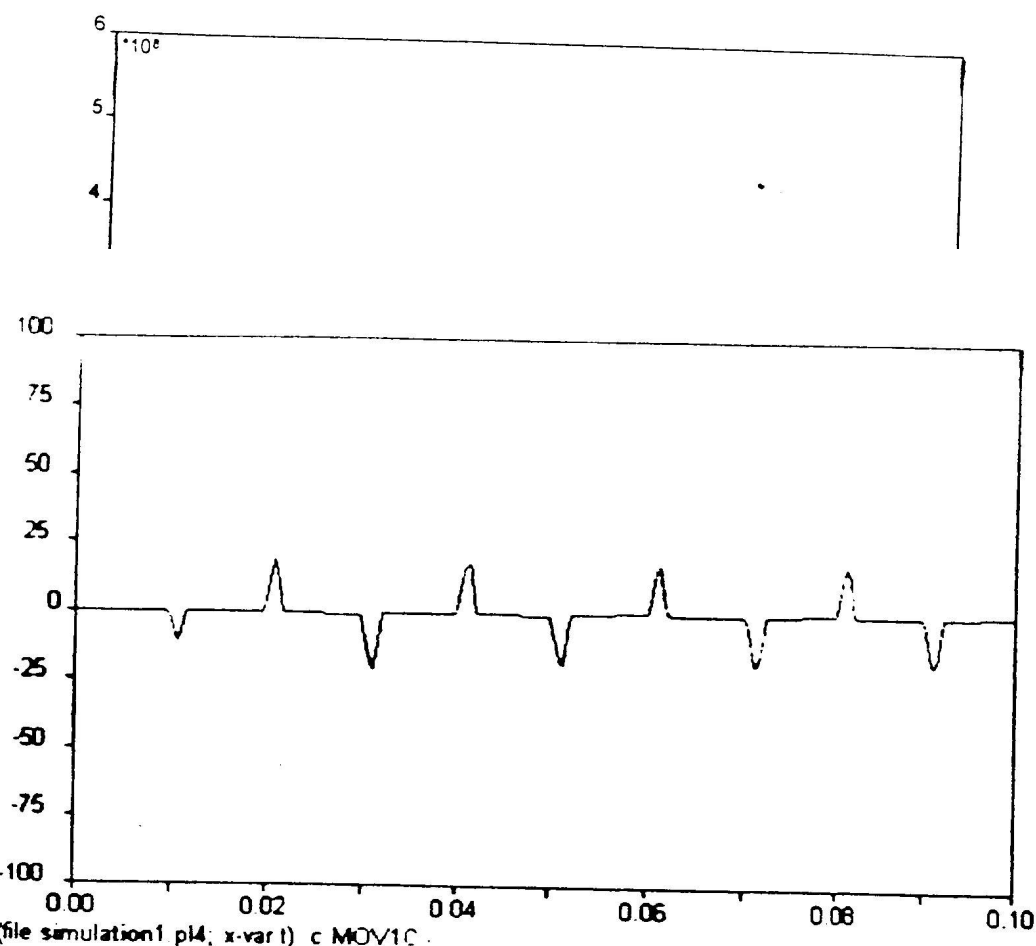


شکل (۵-۱۸): ولتاژ فاز T ثانویه ترانسفورماتور

۵-۷-۱-۱-۱- رفتار بر قیگرهای سمت اولیه و ثانویه ترانسفورماتور در هنگام وقوع حادثه:

مطلب جالب و قابل توجه در هنگام وقوع حادثه رفتار برقگیرهای سمت اولیه و ثانویه ترانس می باشد که در برابر این اضافه ولتاژ بوجود آمده از خود نشان می دهند.

شکل (۱۹-۵) جریان عبوری از برقگیر فاز T سمت اولیه ترانس را با توجه به اضافه ولتاژ ایجاد شده نشان می‌دهد.



شکل (۱۹-۵): جریان عبوری از برقگیر فاز T سمت اولیه ترانسفورماتور

مطابق نمودار در هنگام حادثه از این برقگیر جریانی در حدود ۱۵ آمپر می‌گذرد و طبق گزارشات موجود در هنگام وقوع حادثه مذکور برقگیر سمت اولیه ترانس تنها یک بار عملکرد داشته است و چون انرژی تخلیه شده توسط این برقگیر زیاد نبوده لذا دچار آسیب دیدگی نشده است. در شکل (۲۰-۵) و (۲۱-۵) نمودار توان و انرژی جذب شده توسط برقگیر نشان داده شده است.

است.

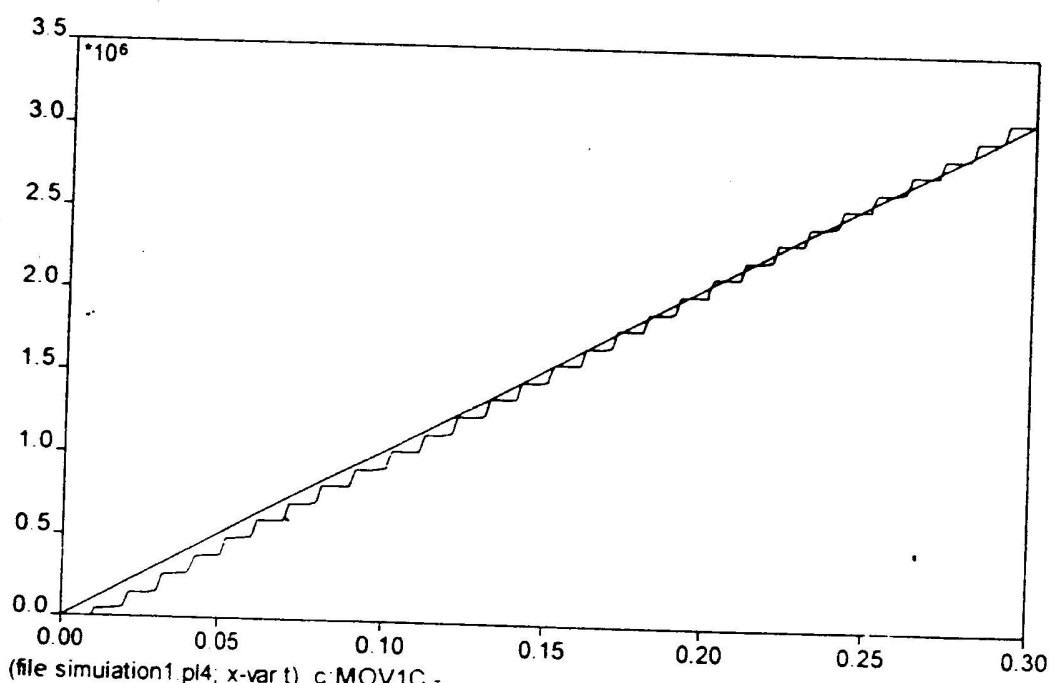
شکل (۲۰-۵): توان عبوری از برقگیر فاز T سمت اولیه ترانسفورماتور

شکل (۲۱-۵): میزان انرژی جذب شده توسط برقگیر فاز T سمت اولیه ترانسفورماتور

ملاحظه می‌شود که انرژی جذب شده توسط برقگیر در مدت ۳۰۰ میلی ثانیه شبیه سازی رو به افزایش می‌باشد، ولی توان عبوری از برقگیر تقریباً ثابت است.

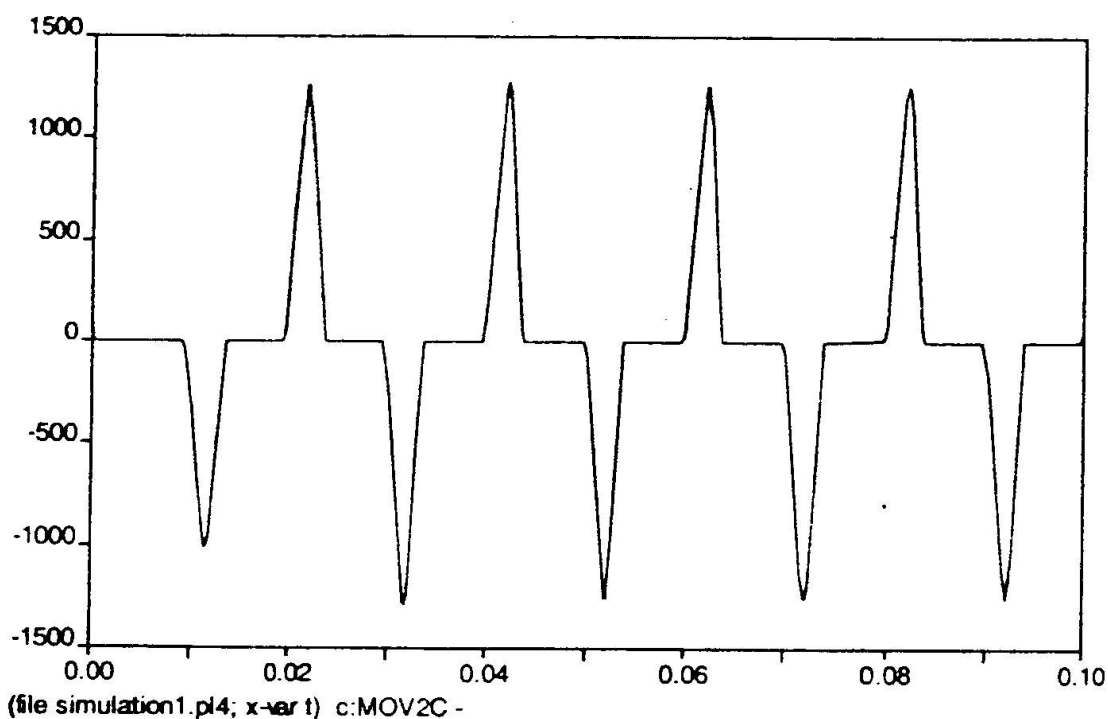
۷-۱-۲-۲- رفتار برقگیر فاز T سمت KV ۲۳۰ ترانسفورماتور در هنگام وقوع حادثه:

در موقع برقدار شدن ترانسفورماتور در حالت نامتعادلی پلهای کلید ۹۲۰۲، پست رود شور به عنوان یک منبع سینوسی عمل نموده و ترانسفورماتور پست فیروز بهرام را از طریق خازن بین دو فاز برقدار



و فاز بی برق تغذیه می‌نماید و چون خود ترانس نیز به عنوان یک سلف غیر خطی عمل می‌کند لذا در این حالت شبکه ساختار یک مدار فرورزونانسی را پیدا می‌کند و در اثر اضافه ولتاژهای

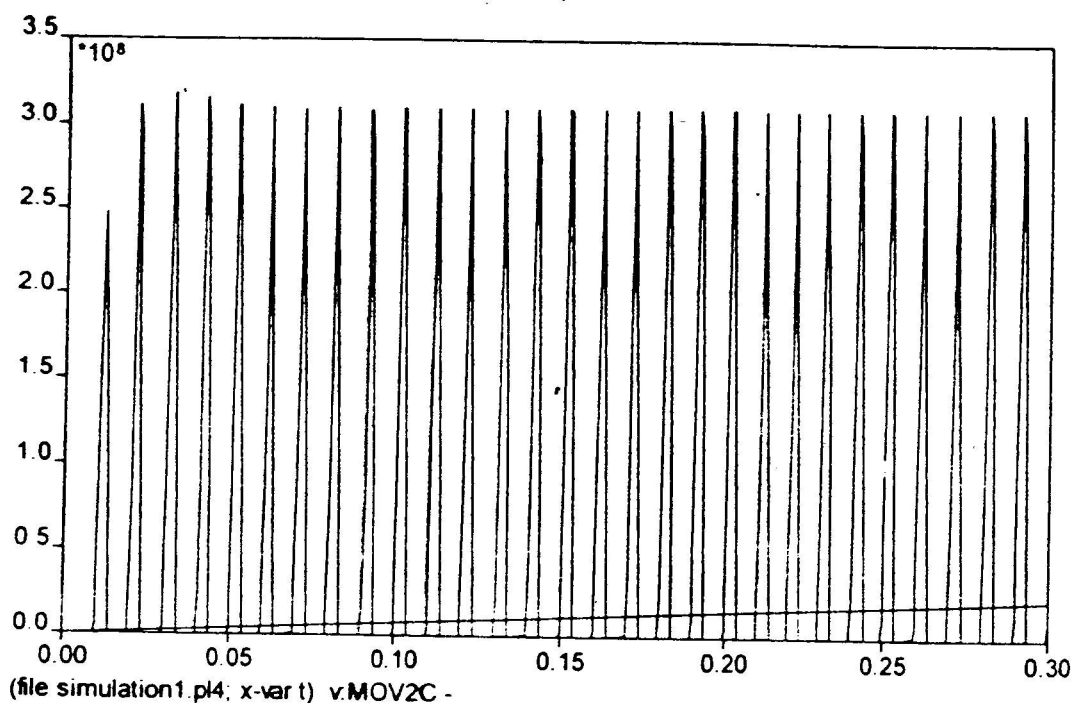
هارمونیکی ناشی از به اشباع رفتن ترانسفورماتور بر اثر پدیده فرورزونانس مطابق شکل (۱۸-۵) ولتاژ سمت ثانویه ترانس تا مقدار ۲۳۷KV بالا می‌رود و چون این ولتاژ بسیار بالاتر از ولتاژ نامی برقگیر می‌باشد لذا باعث تخلیه انرژی زیاد در برقگیر شده و نتیجاً سبب انفجار این برقگیر می‌شود.



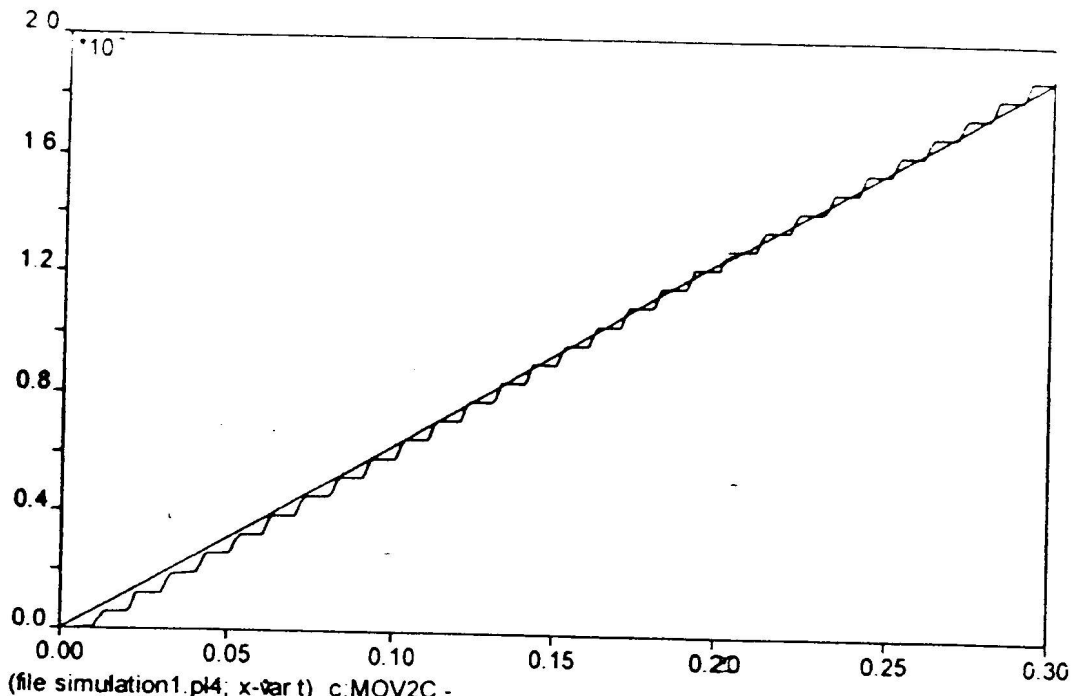
شکل (۲۲-۵) جریان عبوری فاز T سمت ثانویه ترانس را نشان می‌دهد. و چنانچه مشاهده می‌گردد برقگیر مذکور تعداد ۹ بار عملکرد را در مدت ۱۰۰ میلی‌ثانیه مورد مطالعه نشان می‌دهد، و طبق گزارشات حاصله در هنگام حادثه ۸ بار عملکرد برقگیر مذکور ثبت گردیده است.

شکل (۲۲-۵): جریان عبوری از برقگیر فاز T سمت ثانویه ترانسفورماتور

در شکل (۲۳-۵) و (۲۴-۵) نمودار توان و انرژی جذب شده توسط برقگیر فاز TtT سمت ثانویه ترانس نشان داده شده است.



شکل (۲۳-۵) : توان عبوری از برقگیر فاز T سمت ثانویه ترانسفورماتور



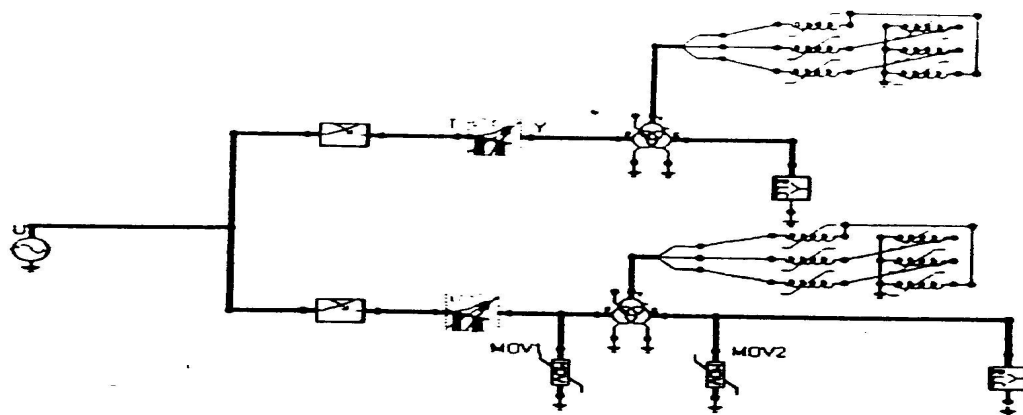
شکل (۲۴-۵): انرژی جذب شده توسط برقگیر فاز T سمت ثانویه ترانسفورماتور

همانطور که مشاهده می‌شود توان عبوری از برقگیر تقریباً ۳۱۲ مگاوات و انرژی جذب شده توسط آن، ۳۰۰ میلی ثانیه حادثه تقریباً به ۱۹ مگاژول می‌رسد که همین امر باعث ناپذاری حرارتی در برقگیر شده، یعنی توان جذب شده توسط برقگیر به مراتی بیشتر از توان دفع شده توسط آن می‌شود ($P > Q$) و باعث سوختن قرصهای اکسید روی موجود در برقگیر شده و پس از وصل برقکر میانی ۹۸۴۲ در پست رود شور، برقگیر سوخته توانایی استقامت در برابر ولتاژ کار عادی شبکه را نیز نداشته و نهایتاً منجر به انفجار این برقگیر می‌شود.

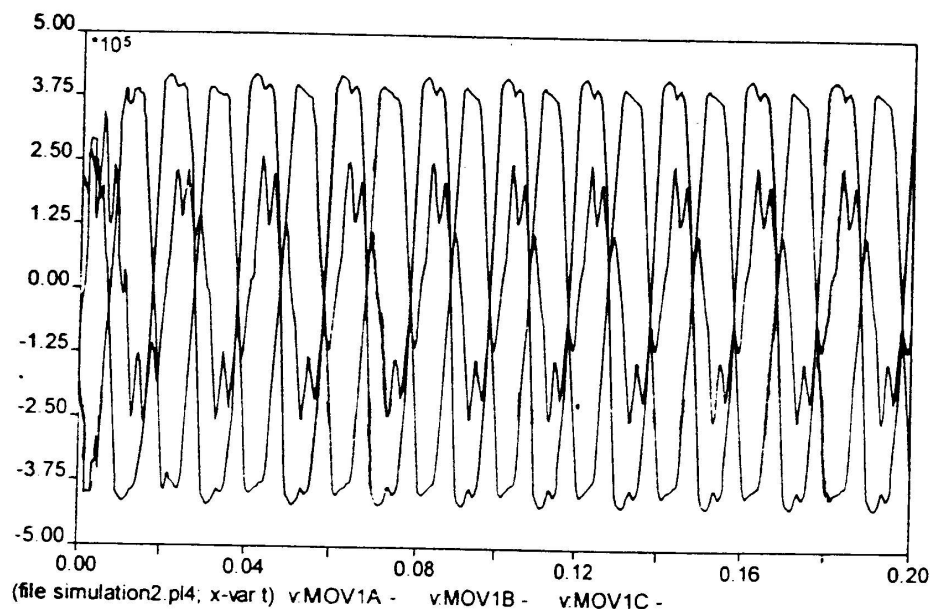
۵-۷-۱-۳- بررسی روشهایی جهت جلوگیری از وقوع پدیده فرورزونانس در پست فیروز بهرام

الف- وجود بار در سمت ثانویه ترانسفورماتور

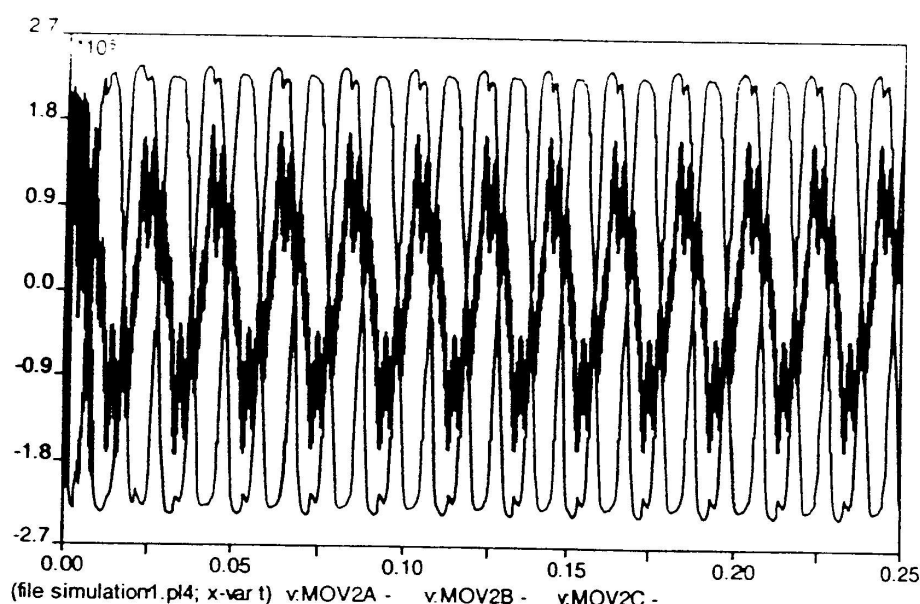
شکل شبکه مورد نظر در این حالت در محیط ATP Draw بصورت زیر می باشد.



مالحظه می شود که در این حالت ثانویه ترانس باز نبوده و به یک بار متصل است. اگر حادثه مورد نظر را در این حالت بررسی کنیم. شکل موج ولتاژ برقگیرهای اولیه و ثانویه ترانس به صورت زیر خواهد بود.



شکل (۲۵-۵): شکل موج ولتاژ دو سر برگیرهای KV ۴۰۰ در حالت بارداری ترانسفورماتور



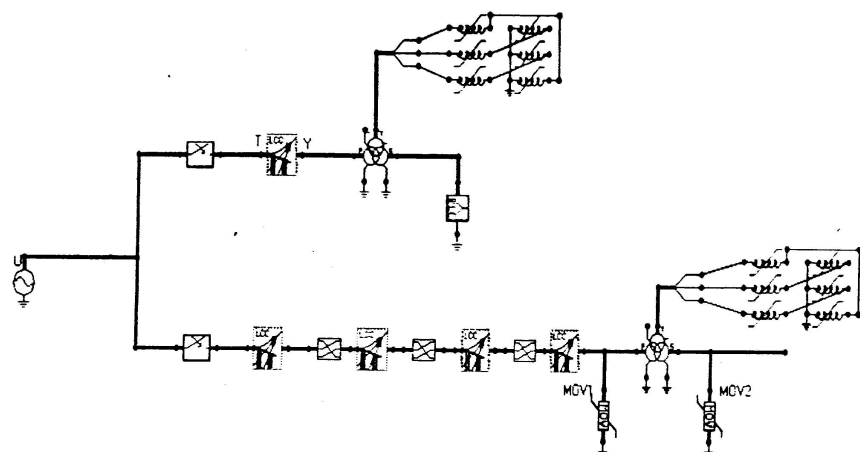
شکل (۲۶-۵): شکل موج ولتاژ دو سر برگیرهای KV ۲۳۰ در حالت بارداری ترانسفورماتور

مالحظه می‌شود که شکل موج و دامنه آن در حالت بارداری ترانسفورماتور هیچ تفاوتی با حالت بی‌باری ترانس ندارد، البته ممکن است در مدارات دیگر این روش جهت جلوگیری از وقوع فروزنانس موثر باشد ولی در این شبکه خاص پاسخگو نیست.

ب - ترانسپوز کردن خط رودشور - فیروز بهرام

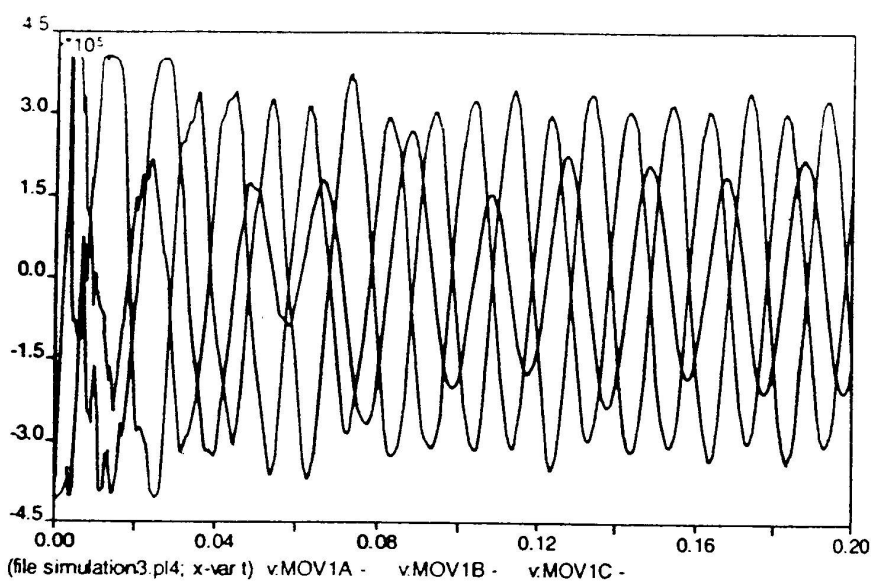
شبکه مورد بحث و نتایج حاصله در این حالت در محیط ATP Draw به صورت زیر

می‌باشد.

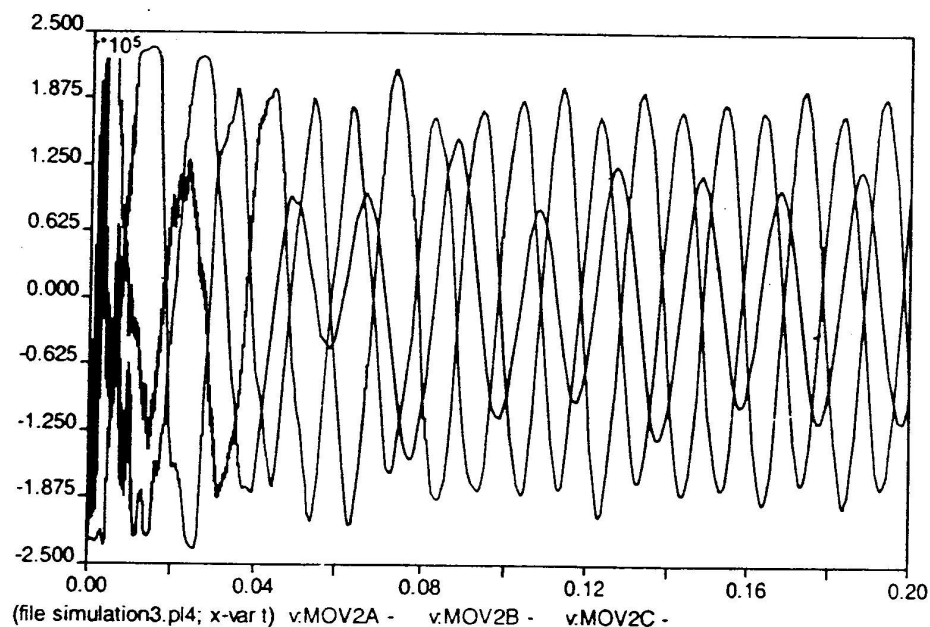


شکل (۵-۲۷): مدار مورد استفاده جهت شبیه‌سازی شبکه مورد نظر در حالت ترانسپوز کردن

خط رودشور - فیروز بهرام



شکل (۲۱-۵) : شکل موج ولتاژ اولیه ترانس در حالت ترانسپوز کردن خط رودشور - فیروز بهرام



شکل (۲۱-۶): شکل موج ولتاژ ثانویه ترانس در حالت ترانسپوز کردن خط رودشور - فیروز بهرام

مطابق نتایج بدست آمده در حالت ترانسپوز کردن خط نیز شبکه در حالت فرورزونانس خارج نشده و شکل موج ولتاژ اولیه و ثانویه ترانسفورماتور هارمونیکی می‌باشد. البته دامنه ولتاژ فاز T کمتر شده است ولی دامنه ولتاژ فازهای R , S بیشتر شده و احتمال عملکرد برقگیرهای فاز R , S و تخلیه انرژی بالا در آنها تحت اضافه ولتاژهای موقت فرورزونانسی می‌رود، در نتیجه استفاده از این روش نیز در این شبکه منطقی به نظر نمی‌رسد.